

# Raport - Wykrywanie naczyń dna siatkówki oka

## 1. Skład grupy.

- Aleksandra Bamberska 156021
- Adam Biernacki 155934

## 2. Zastosowany język programowania oraz dodatkowe biblioteki.

- Język: Python 3.11.0
- Dodatkowe biblioteki:
  - Streamlit – framework który wykorzystaliśmy do stworzenia interfejsu użytkownika
  - os – praca z plikami i ścieżkami w systemie operacyjnym
  - pandas - Tworzenie i wyświetlanie tabel z metrykami
  - numpy – operacje numeryczne
  - Pillow – Przetwarzanie obrazów
  - OpenCV-python - Zaawansowane przetwarzanie obrazów
  - Scikit-image (0.24.0) - Implementacja filtrów przetwarzania obrazu i ekstrakcja cech
  - Scikit-learn (1.6.1) - Klasyfikacja i ewaluacja modelu klasycznego (Random Forest)
  - Imbalanced-learn - Balansowanie zbioru uczącego
  - Joblib - Zapisywanie i wczytywanie modeli klasyfikacyjnych (Random Forest)
  - Matplotlib - wizualizacja wyników
  - Torch - Budowa i trenowanie modelu UNet
  - Segmentation\_models\_pytorch – gotowa implementacja architektury UNet

## 3. Opis zastosowanych metod:

- Przetwarzanie obrazów

```
def generate_fov_mask_by_brightness(image, threshold=41): 12 usages
    # 1. Skala szarości
    if image.ndim == 3:
        gray = cv2.cvtColor(image, cv2.COLOR_RGB2GRAY)
    else:
        gray = image.copy()

    # 2. Proste progowanie jasności
    mask = (gray > threshold)

    return mask
```

Na podstawie obrazu wejściowego generujemy maskę FOV używając wartości jasności danego piksela, maska ta która określa nam obszar, który będzie poddany filtrowaniu Frangi.

Następnie obraz wejściowy poddawany jest wstępnemu przetworzeniu.

```
def preprocess_image(image): 11 usages
    green_channel = image[:, :, 1]

    clipped = np.clip(green_channel, a_min: 10, a_max: 245)

    # Rozmycie Gaussa (usunięcie szumu)
    blurred = cv2.GaussianBlur(clipped, ksize: (9, 9), sigmaX: 0)

    # Wyostrenie (maskowanie nieostrości)
    sharpened = cv2.addWeighted(blurred, alpha: 1.5, blurred, -0.5, gamma: 0)

    # Normalizacja histogramu lokalna (CLAHE)
    clahe = cv2.createCLAHE(clipLimit=3.0, tileGridSize=(8, 8))
    enhanced = clahe.apply(sharpened)

    return enhanced
```

Podczas wstępnego przetwarzania wyciągamy ze zdjęcia tylko kanał zielony, ponieważ, w nim najlepiej są widoczne naczynia. Wykorzystujemy rozmycie Gaussa w celu usunięcia szumu. Następnie obraz poddany jest wyostreniu i na koniec wykonana jest normalizacja histogramu przy użyciu CLAHE. Parametry do każdego etapu zostały wybrane metodą prób i błędów, w celu wypracowania parametrów bliskich optymalnym.

```
def apply_frangi_filter(image, fov_mask=None): 3 usages
    filtered = frangi(image, sigmas=np.arange(1, 5, 0.5), black_ridges=True)
    filtered = filtered / filtered.max()

    if fov_mask is not None:
        filtered = filtered * fov_mask

    binary_mask = np.where(filtered > 0.03, 1, 0)
    return binary_mask
```

W funkcji `apply_frangi_filter` wykonywana jest aplikacja filtru Frangi na wstępnie przetworzony obraz. Wykonujemy filtrację, następnie normalizujemy ją względem największej wartości. Jeśli funkcja zostaje wywołana z maską FOV, usuwamy wszystko co jest poza nią – ustawiamy to jako tło. Kolejnym krokiem jest wybranie odpowiednich wartości już z filtrowanego obrazu aby utworzyć maskę binarną. Wartość 0.03, również została wybrana tą samą metodą co parametry w poprzedniej funkcji, może być ona zła dla innych obrazów, które nie znajdują się w tej bazie danych i musiałby być dostosowana do obrazów wejściowych.

```
def postprocess_mask(binary_mask): 4 usages
    if binary_mask.dtype != np.uint8:
        binary_mask = (binary_mask * 255).astype(np.uint8) if binary_mask.max() <= 1 else binary_mask.astype(np.uint8)

    kernel = cv2.getStructuringElement(cv2.MORPH_ELLIPSE, ksize: (3, 3))
    opened = cv2.morphologyEx(binary_mask, cv2.MORPH_OPEN, kernel, iterations=1)

    return opened/255
```

Opcją w interfejsie jest poddanie wygenerowanej maski binarnej końcowemu przetworzeniu, zalecane jest włączenie tej funkcji, ponieważ w testowanych obrazach zwiększała wartość dokładności względem maski eksperckiej.

Funkcja ta jest bardzo prosta, ale też wystarczająca, usuwamy w niej tylko małe elementy szumu, który pozostał po aplikacji filtrowania.

Przykład działania:



Bez włączonego końcowego przetwarzania



Z włączonym końcowym przetwarzaniem

Mimo że miary są dosyć zbliżone, jednak korzystając z oceny wizualnej widać że maska binarna po końcowym przetworzeniu pozbawiona jest pozostałości z ramki wokół siatki oka oraz w samej siatce oka usunięte zostały elementy (większość), które były szumem po filtrowaniu.

- Uczenie maszynowe – klasyfikator

Podczas generowania klasyfikatora wczytujemy obrazy, które nie są użyte do późniejszego testowania klasyfikatora lub modelu UNet. Poddajemy je wstępnemu przetworzeniu (funkcja opisana wyżej), generujemy maskę FOV oraz wczytujemy maskę ekspercką.

```

images = []
masks = []
fov = []

for fname in train_files:
    image_path = os.path.join(IMAGE_DIR, fname)
    mask_path = os.path.join(MASK_DIR, os.path.splitext(fname)[0] + ".ah.ppm")

    if not os.path.exists(mask_path):
        continue

    image = cv2.imread(image_path)
    image = cv2.cvtColor(image, cv2.COLOR_BGR2RGB)

    image_np = np.array(image)

    preprocessed = preprocess_image(image_np)

    mask_fov = generate_fov_mask_by_brightness(image_np)

    expert = Image.open(mask_path).convert("L")
    expert_mask = (np.array(expert) > 127).astype(np.uint8)

    images.append(preprocessed)
    masks.append(expert_mask*255)

    fov.append(mask_fov*255)

```

Po wczytaniu wszystkich obrazów wykonujemy na nich wyznaczenie wycinków obrazu oraz ekstrakcję ich cech.

```

X = []
y = []

for i in range(train_len):
    h, w = masks[i].shape
    process_with_fov(h, w, fov[i], masks[i], extract_labels, y)

    h, w = images[i].shape
    process_with_fov(h, w, fov[i], images[i], extract_patch_features, X)

```

W funkcji `process_wih_fov` generujemy wycinki (patch), ale tylko wtedy, kiedy dany piksel znajduje się w obrębie wygenerowanej maski FOV.

```

def process_with_fov(h, w, fov, data, fun, output): 2 usages
    for y in range(2, h - 2):
        for x in range(2, w - 2):
            if fov[y, x]:
                patch = data[y - 2 : y + 3, x - 2 : x + 3]
                output.append(fun(patch))

```

W funkcji tej przechodzimy po całym obrazie, jeśli piksel znajduje się w obrębie maski FOV, wykonujemy ekstrakcję cech z tego wycinka.

```
def extract_patch_features(patch): 2 usages
    features = [np.mean(patch), np.var(patch)]
    moments = moments_central(patch)
    hu = moments_hu(moments)
    features.extend(hu)
    return np.array(features)

def extract_labels(patch): 1 usage
    if patch[2, 2] > 127:
        return 1
    else:
        return 0
```

Funkcja `extract_patch_features` jest dla wycinków z obrazu. Wyciągamy z niego średnią wartość, wariancję oraz momenty Hu.

Funkcja `extract_labels` tak naprawdę sprawdza nam tylko czy środkowy element z wycinka maski eksperckiej, który ma wielkość 5x5, jest naczyniem.

Kolejnym krokiem jest podział zbioru danych na dane uczące i dane testowe.

```
X_train, X_test, y_train, y_test = train_test_split(*arrays: X, y, test_size=0.2, random_state=42)

st.write("Train set size: ", len(X_train))
st.write('X_train shape: ', np.array(X_train).shape)
st.write('y_train shape: ', np.array(y_train).shape)

st.write('y_train label 1: ', np.count_nonzero(y_train))
st.write('y_train label 0: ', len(y_train) - np.count_nonzero(y_train))

rus = RandomUnderSampler(sampling_strategy=1, random_state=42)
X_train, y_train = rus.fit_resample(X_train, y_train)

st.write("Train set size after undersampling: ", len(X_train))
st.write('y_train label 1: ', np.count_nonzero(y_train))
st.write('y_train label 0: ', len(y_train) - np.count_nonzero(y_train))
```

Dane są podzielone w proporcji 8:2 czyli 80% to dane uczące a 20% to dane testowe.

Dane uczące są poddane undersampling-owi do zrównoważenia rozkładu klas w zbiorze uczącym.

```
Train set size: 3750117

X_train shape: (3750117, 9)

y_train shape: (3750117,)

y_train label 1: 386087

y_train label 0: 3364030

Train set size after undersampling: 772174

y_train label 1: 386087

y_train label 0: 386087
```

Definiujemy nasz model w postaci RandomForestClassifier() oraz jego możliwe parametry.

```
model = RandomForestClassifier()

pipeline = Pipeline([
    ('rfc', model)
])

param_grid = {
    'rfc__n_estimators': [5, 150],
    'rfc__max_depth': [None, 30],
    'rfc__min_samples_leaf': [0, 3],
    'rfc__min_samples_split': [1, 10]
}
```

Definiujemy obiekt GridSearchCV oraz dopasowujemy model do danych i następnie wyświetlamy najlepszy parametr oraz wynik testu krzyżowego. Jako ostatecznie wyświetlane są wyniki accuracy dla zbioru treningowego oraz dla zbioru testowego. Po tych operacjach klasyfikator zostaje zapisany do pliku, aby móc go użyć w naszej aplikacji.

```
# Definiowanie obiektu GridSearchCV
grid_search = GridSearchCV(pipeline, param_grid=param_grid, n_jobs=-1)
grid_search.fit(X_train, y_train)
```

Najlepsze parametry:

```
{  
  "rfc__max_depth" : NULL  
  "rfc__min_samples_leaf" : 3  
  "rfc__min_samples_split" : 10  
  "rfc__n_estimators" : 150  
}
```

Najlepszy wynik: 0.860326816090834

Training accuracy: 0.9475817626597114

Test accuracy: 0.8683786118844197

Predykcja maski binarnej na podstawie klasyfikatora:

Dzielimy obraz wejściowy na wycinki i wyciągamy z nich średnią wartość, wariację oraz momenty Hu. Na podstawie tych wartości klasyfikator dokonuje predykcji maski binarnej. Ostatnim elementem jest filtrowanie tej maski przez FOV obrazu wejściowego, aby uzyskać lepszy wynik.

```
def predict_mask_from_model(image, model, fov_mask, patch_size=5):  
    h, w = image.shape  
    mask_pred = np.zeros(shape=(h, w), dtype=np.uint8)  
    features = []  
  
    coords = []  
    for y in range(patch_size//2, h - patch_size//2):  
        for x in range(patch_size//2, w - patch_size//2):  
            if fov_mask[y, x]:  
                patch = image[y - 2:y + 3, x - 2:x + 3]  
                features.append(extract_patch_features(patch))  
                coords.append((y, x))  
  
    if not features:  
        return mask_pred # wszystko zostaje czarne  
  
    features = np.array(features)  
    predictions = model.predict(features)  
  
    for (y, x), pred in zip(coords, predictions):  
        if pred == 1:  
            mask_pred[y, x] = 1  
  
    return mask_pred * fov_mask
```



- Uczenie maszynowe – Unet

Wstępne przygotowanie danych, jest bardzo podobne jak w poprzednim przypadku, jednak tutaj nie używamy wstępnego przetworzenia obrazu oraz usunięcia elementów poza FOV'em, zdecydowaliśmy się to pominąć, aby model uczył się na obrazach wejściowych bez żadnych zmian, co poprawia też prędkość tego algorytmu.

```
images = []
masks = []

for fname in train_files:
    img_path = os.path.join(IMAGE_DIR, fname)
    mask_path = os.path.join(MASK_DIR, os.path.splitext(fname)[0] + ".ah.ppm")

    if not os.path.exists(mask_path):
        continue

    image = cv2.imread(img_path)

    image = cv2.cvtColor(image, cv2.COLOR_BGR2RGB) / 255

    mask = Image.open(mask_path).convert("L")
    mask = (np.array(mask) > 127).astype(np.uint8)

    images.append(image)
    masks.append(mask)
```

Kolejnym krokiem jest podział zbioru danych na dane uczące, walidujące oraz testowe. Są one podzielone w proporcji 8:1:1.

```
X_train_val, X_test, Y_train_val, Y_test = train_test_split(*arrays: images, masks, test_size=0.1, random_state=42)
X_train, X_val, Y_train, Y_val = train_test_split(*arrays: X_train_val, Y_train_val, test_size=1/9, random_state=42)
```

```
X_train shape: torch.Size([11, 3, 605, 700])
Y_train shape: torch.Size([11, 1, 605, 700])
X_valid shape: torch.Size([2, 3, 605, 700])
Y_valid shape: torch.Size([2, 1, 605, 700])
X_test shape: torch.Size([2, 3, 605, 700])
Y_test shape: torch.Size([2, 1, 605, 700])
```

Pierwsza wartość (2 lub 11) to liczba plików, które zostały przypisane do danego zbioru.

Druga wartość (3 lub 1) to liczba klas danych wejściowych, to znaczy czy w RGB czy w skali szarości.

Natomiast trzecia i czwarta wartość to wielkość obrazów.

Kolejnym krokiem jest definicja modelu, korzystamy tutaj już z zaimplementowanej sieci UNet z biblioteki segmentation\_models\_pytorch, która działa na bibliotece PyTorch.



```

model = smp.Unet(
    encoder_name='vgg16',
    encoder_weights='imagenet',
    in_channels=3,
    classes=1,
    activation='sigmoid'
)

loss_fn = BCEJaccardLoss()

optimizer = torch.optim.Adam(model.parameters(), lr=1e-4)

```

Vgg16 to model splotowy sieci neuronowej, nazwa vgg16 odnosi się do 16 warstw, które ten model zawiera do uczenia.

Encoder wag Imagenet współpracuje z vgg16.

In\_channels określa nam ile jest klas wejściowych, u nas są 3, ponieważ działamy na RGB.

Classes są to natomiast klasy wyjściowe, u nas jest 1, ponieważ wyjście musi być w skali szarości / binarne.

Parametr activation o wartości sigmoid, jest to funkcja używana do dodania nieliniowości w modelu uczenia maszynowego.

Kolejnym krokiem algorytmu jest samo uczenie i walidacja modelu.

```

best_val_loss = float("inf")
best_model = model
iter_worst = 0

for epoch in range(20):
    model.train()
    optimizer.zero_grad()
    preds = model(X_train)
    preds = torch.sigmoid(preds)
    loss = loss_fn(preds, Y_train)
    loss.backward()
    optimizer.step()

    model.eval()
    with torch.no_grad():
        val_preds = model(X_val)
        val_loss = loss_fn(torch.sigmoid(val_preds), Y_val).item()

    st.write(f"Epoch {epoch+1}, Train loss: {loss.item():.4f}, Val loss: {val_loss:.4f}")

    if val_loss < best_val_loss:
        best_val_loss = val_loss
        best_model = model
        iter_worst = 0
    else:
        iter_worst += 1
        if iter_worst == 3:
            torch.save(best_model, MODEL_PATH)
            break

```

Model uczony jest maksymalnie przez 20 epok (można dać więcej, ale poprawa jest niewielka), jednak jeśli w trakcie trwania treningu model zacznie się przeuczać, zbiór walidujący to zauważy, wtedy zakończy trening i zapisze model, który powstał przez zaczęciem przeuczania. Krótko mówiąc, jeśli w każdej kolejnej iteracji model będzie poprawiał swoją działanie na zbiorze walidującym, uczenie będzie kontynuowane, jeśli natomiast przez 3 iteracje wartość loss na zbiorze walidującym będzie większa od wcześniejszej najmniejszej to uczenie zostanie przerwane i model zostanie zapisany do pliku.

Weryfikacja modelu obiera się na wartości IoU, jest to współczynnik podobieństwa do mask eksperckich z danego zbioru.

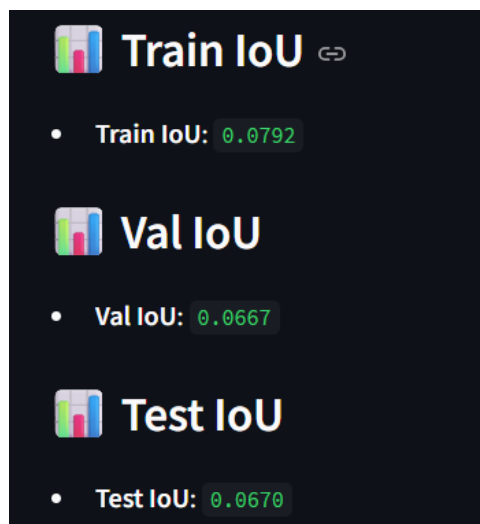
```
def iou_score(y_pred, y_true, threshold=0.5): 3 usages
    y_pred = (y_pred > threshold).float()
    y_true = y_true.float()

    intersection = (y_pred * y_true).sum((1, 2, 3))
    union = ((y_pred + y_true) >= 1).float().sum((1, 2, 3))
    iou = (intersection + 1e-7) / (union + 1e-7)
    return iou.mean().item()
```

```
# Ewaluacja
best_model.eval()
with torch.no_grad():
    test_preds = torch.sigmoid(best_model(X_test))
    test_bin_preds = (test_preds > 0.5).float()
    test_iou = iou_score(test_bin_preds, Y_test)

best_model.eval()
with torch.no_grad():
    train_preds = torch.sigmoid(best_model(X_train))
    train_bin_preds = (train_preds > 0.5).float()
    train_iou = iou_score(train_bin_preds, Y_train)

best_model.eval()
with torch.no_grad():
    val_preds = torch.sigmoid(best_model(X_val))
    val_bin_preds = (val_preds > 0.5).float()
    val_iou = iou_score(val_bin_preds, Y_val)
```



Wynik dla zbioru testowego jest delikatnie większy niż dla zbioru walidującego, ale można przyjąć że są takie same, ponieważ różnica jest marginalna. Natomiast różnica względem zbioru treningowego jest już znaczna, co oznacza, że model mógłby być lepiej wytrenowany np. zwiększając liczbę epok, jednak zdecydowaliśmy się na 20 epok, ponieważ czas trwania każdej epoki jest znaczny. Czas treningu na 20 epokach wynosił około 20 minut, więc łatwo idzie określić ile trwałby dla 50 epok. Jednak wyniki dla tego modelu są dobre, więc zdecydowaliśmy się nie zwiększać tego parametru treningowego.

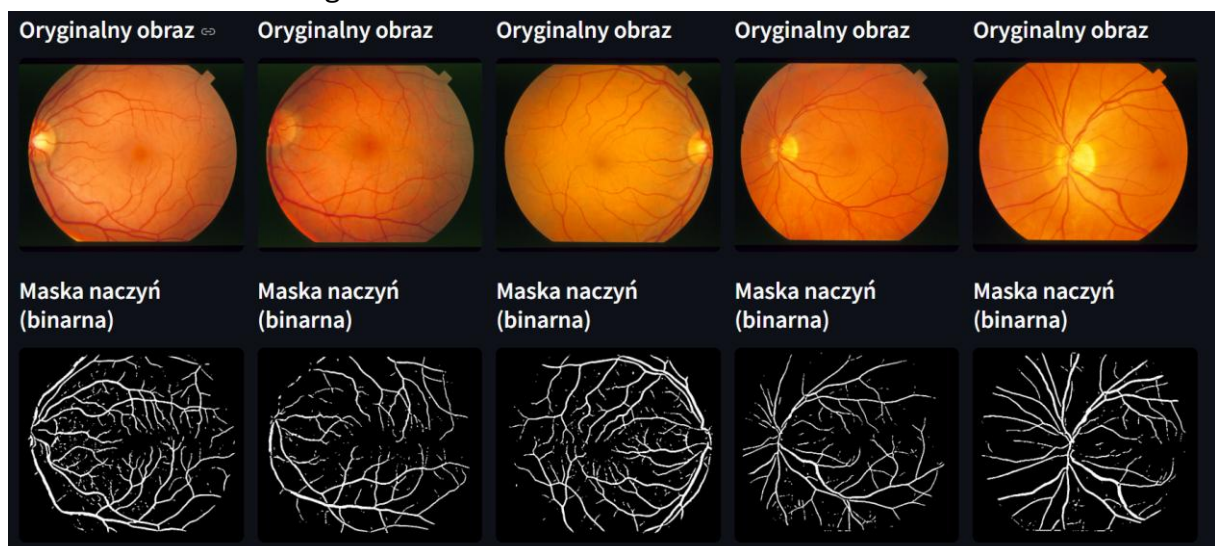
Poniżej wartości loss dla zbioru treningowego i dla zbioru walidującego dla większości epok podczas trenowania modelu.

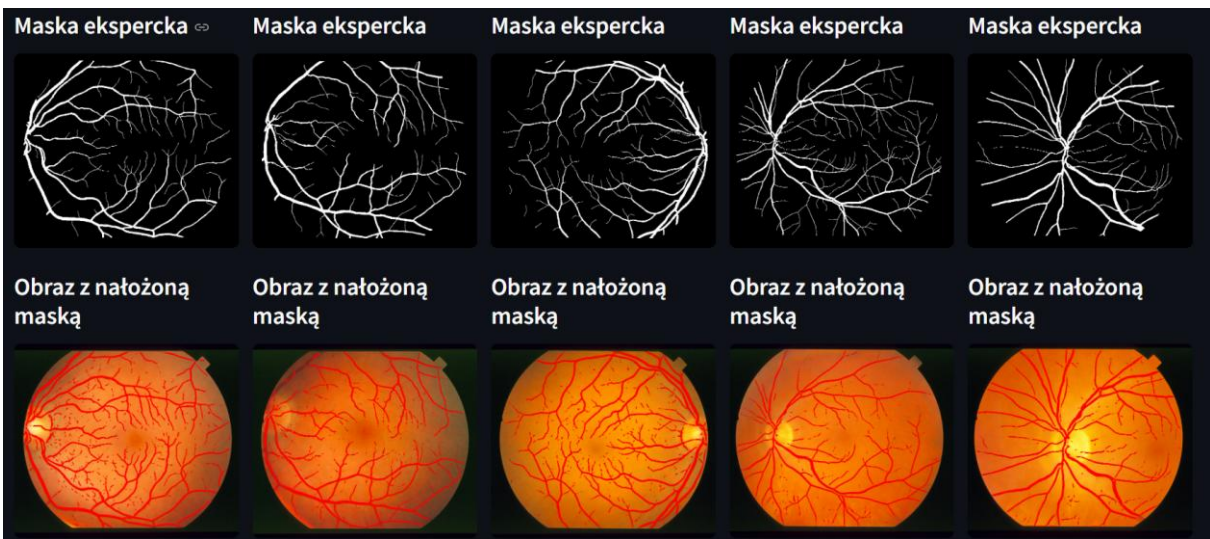
```
Epoch 6, Train loss: 1.7971, Val loss: 1.8714
Epoch 7, Train loss: 1.7922, Val loss: 1.8594
Epoch 8, Train loss: 1.7877, Val loss: 1.8486
Epoch 9, Train loss: 1.7836, Val loss: 1.8387
Epoch 10, Train loss: 1.7797, Val loss: 1.8298
Epoch 11, Train loss: 1.7761, Val loss: 1.8219
Epoch 12, Train loss: 1.7727, Val loss: 1.8148
Epoch 13, Train loss: 1.7695, Val loss: 1.8084
Epoch 14, Train loss: 1.7665, Val loss: 1.8026
Epoch 15, Train loss: 1.7637, Val loss: 1.7972
Epoch 16, Train loss: 1.7610, Val loss: 1.7921
Epoch 17, Train loss: 1.7585, Val loss: 1.7873
Epoch 18, Train loss: 1.7561, Val loss: 1.7829
Epoch 19, Train loss: 1.7537, Val loss: 1.7787
Epoch 20, Train loss: 1.7515, Val loss: 1.7749
```

#### 4. Wizualizacja wyników działania programów dla wybranych obrazów.

Wybrane obrazy do wizualizacji były usunięte ze zbiorów uczących dla klasyfikatora i modelu.

- Filtrowanie Frangi





Miary porównawcze z maską ekspercką

Accuracy: 0.9521  
Sensitivity (Recall): 0.8728  
Specificity: 0.9590  
Średnia arytmetyczna (Se + Sp / 2): 0.9159  
Średnia geometryczna (sqrt(Se × Sp)): 0.9149

Macierz pomyłek

	PN	PP
AN	373570	15989
AP	4316	29625

Legenda:

AN - Actual Negative  
AP - Actual Positive  
PN - Predicted Negative  
PP - Predicted Positive

Miary porównawcze z maską ekspercką

Accuracy: 0.9648  
Sensitivity (Recall): 0.7763  
Specificity: 0.9800  
Średnia arytmetyczna (Se + Sp / 2): 0.8782  
Średnia geometryczna (sqrt(Se × Sp)): 0.8722

Macierz pomyłek

	PN	PP
AN	384063	7822
AP	7073	24542

Miary porównawcze z maską ekspercką

Accuracy: 0.9566  
Sensitivity (Recall): 0.8555  
Specificity: 0.9652  
Średnia arytmetyczna (Se + Sp / 2): 0.9103  
Średnia geometryczna (sqrt(Se × Sp)): 0.9087

Macierz pomyłek

	PN	PP
AN	376610	13580
AP	4814	28496

Miary porównawcze z maską ekspercką

Accuracy: 0.9654  
Sensitivity (Recall): 0.7386  
Specificity: 0.9828  
Średnia arytmetyczna (Se + Sp / 2): 0.8607  
Średnia geometryczna (sqrt(Se × Sp)): 0.8520

Macierz pomyłek

	PN	PP
AN	386562	6758
AP	7888	22292

Miary porównawcze z maską ekspercką

Accuracy: 0.9683  
Sensitivity (Recall): 0.8717  
Specificity: 0.9764  
Średnia arytmetyczna (Se + Sp / 2): 0.9241  
Średnia geometryczna (sqrt(Se × Sp)): 0.9226

Macierz pomyłek

	PN	PP
AN	381531	9218
AP	4201	28550

Podsumowanie zbiorcze wyników (średnie z 5 obrazów):

- Średnia accuracy: 0.9614
- Średnia sensitivity (Recall): 0.8230
- Średnia specificity: 0.9727
- Średnia arytmetyczna (Se + Sp / 2): 0.8978
- Średnia geometryczna (sqrt(Se × Sp)): 0.8941

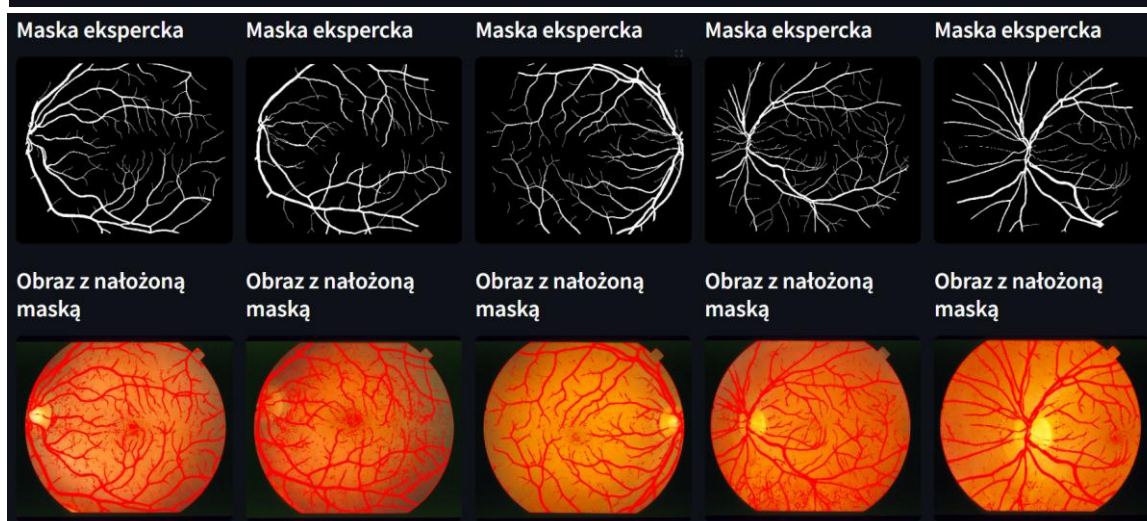
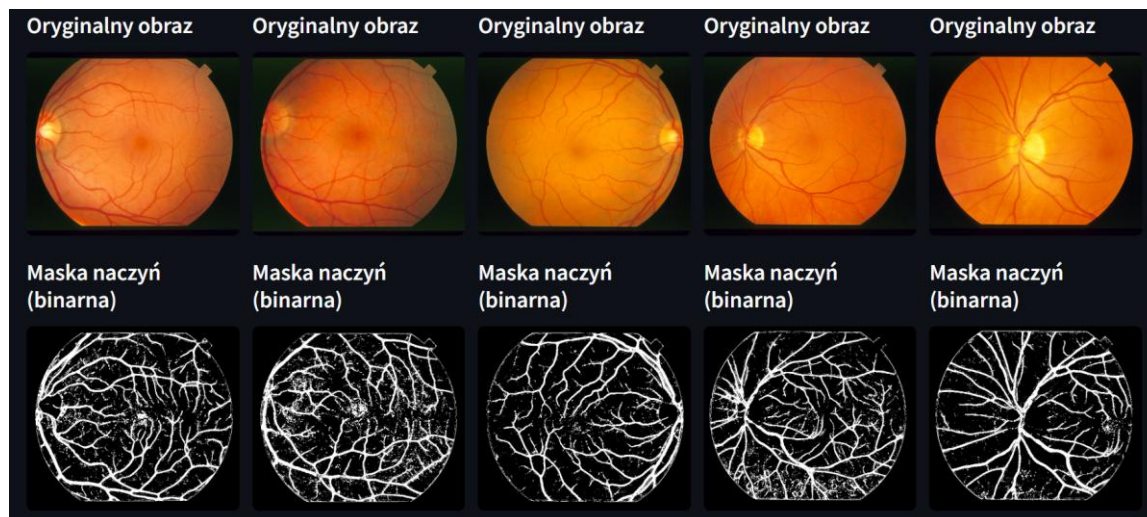
	Obraz	Accuracy	Sensitivity	Specificity	Średnia Arytmetyczna	Średnia Geometryczna
0	im0077.ppm	0.9521	0.8728	0.9590	0.9159	0.9149
1	im0081.ppm	0.9648	0.7763	0.9800	0.8782	0.8722
2	im0082.ppm	0.9566	0.8555	0.9652	0.9103	0.9087
3	im0162.ppm	0.9654	0.7386	0.9828	0.8607	0.8520
4	im0163.ppm	0.9683	0.8717	0.9764	0.9241	0.9226

Sumaryczna macierz pomyłek (łączna dla 5 obrazów):

	Predicted Negative	Predicted Positive
Actual Negative	1902336	53367
Actual Positive	28292	133505



- Uczenie maszynowe – klasyfikator



Miary porównawcze z maską ekspercką	Miary porównawcze z maską ekspercką	Miary porównawcze z maską ekspercką	Miary porównawcze z maską ekspercką	Miary porównawcze z maską ekspercką																																													
Accuracy: 0.8962 Sensitivity (Recall): 0.9593 Specificity: 0.8907 Średnia arytmetyczna (Se + Sp / 2): 0.9250 Średnia geometryczna (sqrt(Se × Sp)): 0.9243	Accuracy: 0.8766 Sensitivity (Recall): 0.9638 Specificity: 0.8696 Średnia arytmetyczna (Se + Sp / 2): 0.9167 Średnia geometryczna (sqrt(Se × Sp)): 0.9155	Accuracy: 0.9235 Sensitivity (Recall): 0.9310 Specificity: 0.9228 Średnia arytmetyczna (Se + Sp / 2): 0.9269 Średnia geometryczna (sqrt(Se × Sp)): 0.9269	Accuracy: 0.8911 Sensitivity (Recall): 0.9234 Specificity: 0.8886 Średnia arytmetyczna (Se + Sp / 2): 0.9060 Średnia geometryczna (sqrt(Se × Sp)): 0.9058	Accuracy: 0.9141 Sensitivity (Recall): 0.9504 Specificity: 0.9111 Średnia arytmetyczna (Se + Sp / 2): 0.9307 Średnia geometryczna (sqrt(Se × Sp)): 0.9305																																													
Macierz pomyłek	Macierz pomyłek	Macierz pomyłek	Macierz pomyłek	Macierz pomyłek																																													
<table><tr><td></td><td>PN</td><td>PP</td></tr><tr><td>AN</td><td>346964</td><td>42595</td></tr><tr><td>AP</td><td>1381</td><td>32560</td></tr></table>		PN	PP	AN	346964	42595	AP	1381	32560	<table><tr><td></td><td>PN</td><td>PP</td></tr><tr><td>AN</td><td>340765</td><td>51120</td></tr><tr><td>AP</td><td>1145</td><td>30470</td></tr></table>		PN	PP	AN	340765	51120	AP	1145	30470	<table><tr><td></td><td>PN</td><td>PP</td></tr><tr><td>AN</td><td>360080</td><td>30110</td></tr><tr><td>AP</td><td>2299</td><td>31011</td></tr></table>		PN	PP	AN	360080	30110	AP	2299	31011	<table><tr><td></td><td>PN</td><td>PP</td></tr><tr><td>AN</td><td>349520</td><td>43800</td></tr><tr><td>AP</td><td>2313</td><td>27867</td></tr></table>		PN	PP	AN	349520	43800	AP	2313	27867	<table><tr><td></td><td>PN</td><td>PP</td></tr><tr><td>AN</td><td>356011</td><td>34738</td></tr><tr><td>AP</td><td>1625</td><td>31126</td></tr></table>		PN	PP	AN	356011	34738	AP	1625	31126
	PN	PP																																															
AN	346964	42595																																															
AP	1381	32560																																															
	PN	PP																																															
AN	340765	51120																																															
AP	1145	30470																																															
	PN	PP																																															
AN	360080	30110																																															
AP	2299	31011																																															
	PN	PP																																															
AN	349520	43800																																															
AP	2313	27867																																															
	PN	PP																																															
AN	356011	34738																																															
AP	1625	31126																																															
Legenda:																																																	
AN - Actual Negative																																																	
AP - Actual Positive																																																	
PN - Predicted Negative																																																	
PP - Predicted Positive																																																	

### Podsumowanie zbiorcze wyników (średnie z 5 obrazów):

- Średnia accuracy: 0.9003
- Średnia sensitivity (Recall): 0.9456
- Średnia specificity: 0.8966
- Średnia arytmetyczna (Se + Sp / 2): 0.9211
- Średnia geometryczna (sqrt(Se × Sp)): 0.9206

	Obraz	Accuracy	Sensitivity	Specificity	Średnia Arytmetyczna	Średnia Geometryczna
0	im0077.ppm	0.8962	0.9593	0.8907	0.9250	0.9243
1	im0081.ppm	0.8766	0.9638	0.8696	0.9167	0.9155
2	im0082.ppm	0.9235	0.9310	0.9228	0.9269	0.9269
3	im0162.ppm	0.8911	0.9234	0.8886	0.9060	0.9058
4	im0163.ppm	0.9141	0.9504	0.9111	0.9307	0.9305

### Sumaryczna macierz pomyłek (łączna dla 5 obrazów):

	Predicted Negative	Predicted Positive
Actual Negative	1753340	202363
Actual Positive	8763	153034

- Uczenie maszynowe – model UNet

Oryginalny obraz	Oryginalny obraz	Oryginalny obraz	Oryginalny obraz	Oryginalny obraz
Maska naczyń (binarna)	Maska naczyń (binarna)	Maska naczyń (binarna)	Maska naczyń (binarna)	Maska naczyń (binarna)
Maska ekspercka	Maska ekspercka	Maska ekspercka	Maska ekspercka	Maska ekspercka
Obraz z nałożoną maską	Obraz z nałożoną maską	Obraz z nałożoną maską	Obraz z nałożoną maską	Obraz z nałożoną maską

Miary porównawcze z maską ekspercką	Miary porównawcze z maską ekspercką	Miary porównawcze z maską ekspercką	Miary porównawcze z maską ekspercką	Miary porównawcze z maską ekspercką
Accuracy: 0.8794 Sensitivity (Recall): 0.9184 Specificity: 0.8760 Średnia arytmetyczna (Se + Sp / 2): 0.8972 Średnia geometryczna (sqrt(Se × Sp)): 0.8970	Accuracy: 0.8932 Sensitivity (Recall): 0.8869 Specificity: 0.8937 Średnia arytmetyczna (Se + Sp / 2): 0.8903 Średnia geometryczna (sqrt(Se × Sp)): 0.8903	Accuracy: 0.8915 Sensitivity (Recall): 0.8699 Specificity: 0.8933 Średnia arytmetyczna (Se + Sp / 2): 0.8816 Średnia geometryczna (sqrt(Se × Sp)): 0.8815	Accuracy: 0.8736 Sensitivity (Recall): 0.8471 Specificity: 0.8756 Średnia arytmetyczna (Se + Sp / 2): 0.8613 Średnia geometryczna (sqrt(Se × Sp)): 0.8612	Accuracy: 0.8888 Sensitivity (Recall): 0.9139 Specificity: 0.8867 Średnia arytmetyczna (Se + Sp / 2): 0.9003 Średnia geometryczna (sqrt(Se × Sp)): 0.9002

Macierz pomyłek	Macierz pomyłek	Macierz pomyłek	Macierz pomyłek	Macierz pomyłek																																													
<table border="1"> <tr><td></td><td>PN</td><td>PP</td></tr> <tr><td>AN</td><td>341259</td><td>48300</td></tr> <tr><td>AP</td><td>2768</td><td>31173</td></tr> </table>		PN	PP	AN	341259	48300	AP	2768	31173	<table border="1"> <tr><td></td><td>PN</td><td>PP</td></tr> <tr><td>AN</td><td>350232</td><td>41653</td></tr> <tr><td>AP</td><td>3577</td><td>28038</td></tr> </table>		PN	PP	AN	350232	41653	AP	3577	28038	<table border="1"> <tr><td></td><td>PN</td><td>PP</td></tr> <tr><td>AN</td><td>348554</td><td>41636</td></tr> <tr><td>AP</td><td>4334</td><td>28976</td></tr> </table>		PN	PP	AN	348554	41636	AP	4334	28976	<table border="1"> <tr><td></td><td>PN</td><td>PP</td></tr> <tr><td>AN</td><td>344400</td><td>48920</td></tr> <tr><td>AP</td><td>4616</td><td>25564</td></tr> </table>		PN	PP	AN	344400	48920	AP	4616	25564	<table border="1"> <tr><td></td><td>PN</td><td>PP</td></tr> <tr><td>AN</td><td>346467</td><td>44282</td></tr> <tr><td>AP</td><td>2819</td><td>29932</td></tr> </table>		PN	PP	AN	346467	44282	AP	2819	29932
	PN	PP																																															
AN	341259	48300																																															
AP	2768	31173																																															
	PN	PP																																															
AN	350232	41653																																															
AP	3577	28038																																															
	PN	PP																																															
AN	348554	41636																																															
AP	4334	28976																																															
	PN	PP																																															
AN	344400	48920																																															
AP	4616	25564																																															
	PN	PP																																															
AN	346467	44282																																															
AP	2819	29932																																															

Legenda:

AN - Actual Negative

AP - Actual Positive

PN - Predicted Negative

PP - Predicted Positive

#### Podsumowanie zbiorcze wyników (średnie z 5 obrazów):

- Średnia accuracy: 0.8853
- Średnia sensitivity (Recall): 0.8872
- Średnia specificity: 0.8851
- Średnia arytmetyczna (Se + Sp / 2): 0.8861
- Średnia geometryczna (sqrt(Se × Sp)): 0.8860

	Obraz	Accuracy	Sensitivity	Specificity	Średnia Arytmetyczna	Średnia Geometryczna
0	im0077.ppm	0.8794	0.9184	0.8760	0.8972	0.8970
1	im0081.ppm	0.8932	0.8869	0.8937	0.8903	0.8903
2	im0082.ppm	0.8915	0.8699	0.8933	0.8816	0.8815
3	im0162.ppm	0.8736	0.8471	0.8756	0.8613	0.8612
4	im0163.ppm	0.8888	0.9139	0.8867	0.9003	0.9002

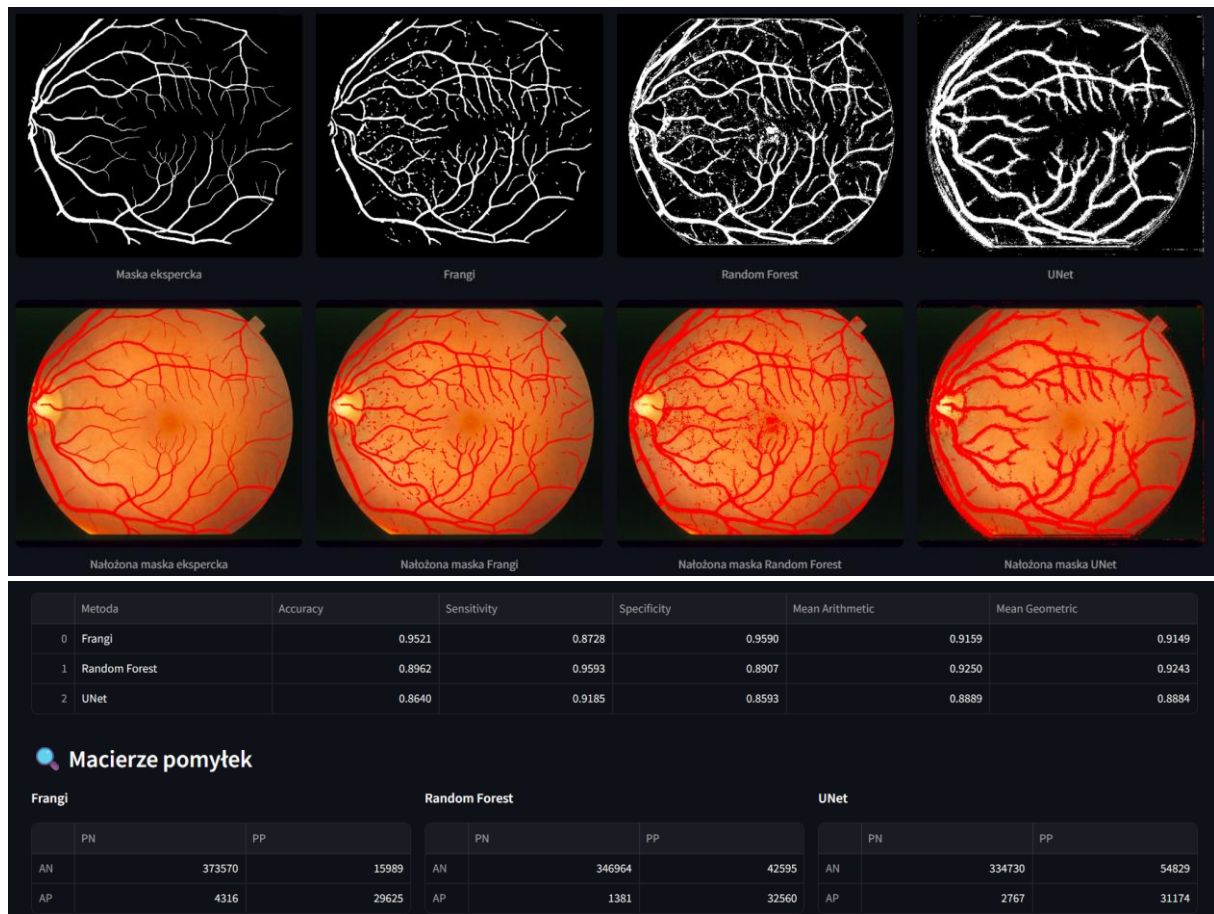
#### Sumaryczna macierz pomyłek (łącznie dla 5 obrazów):

	Predicted Negative	Predicted Positive
Actual Negative	1730912	224791
Actual Positive	18114	143683

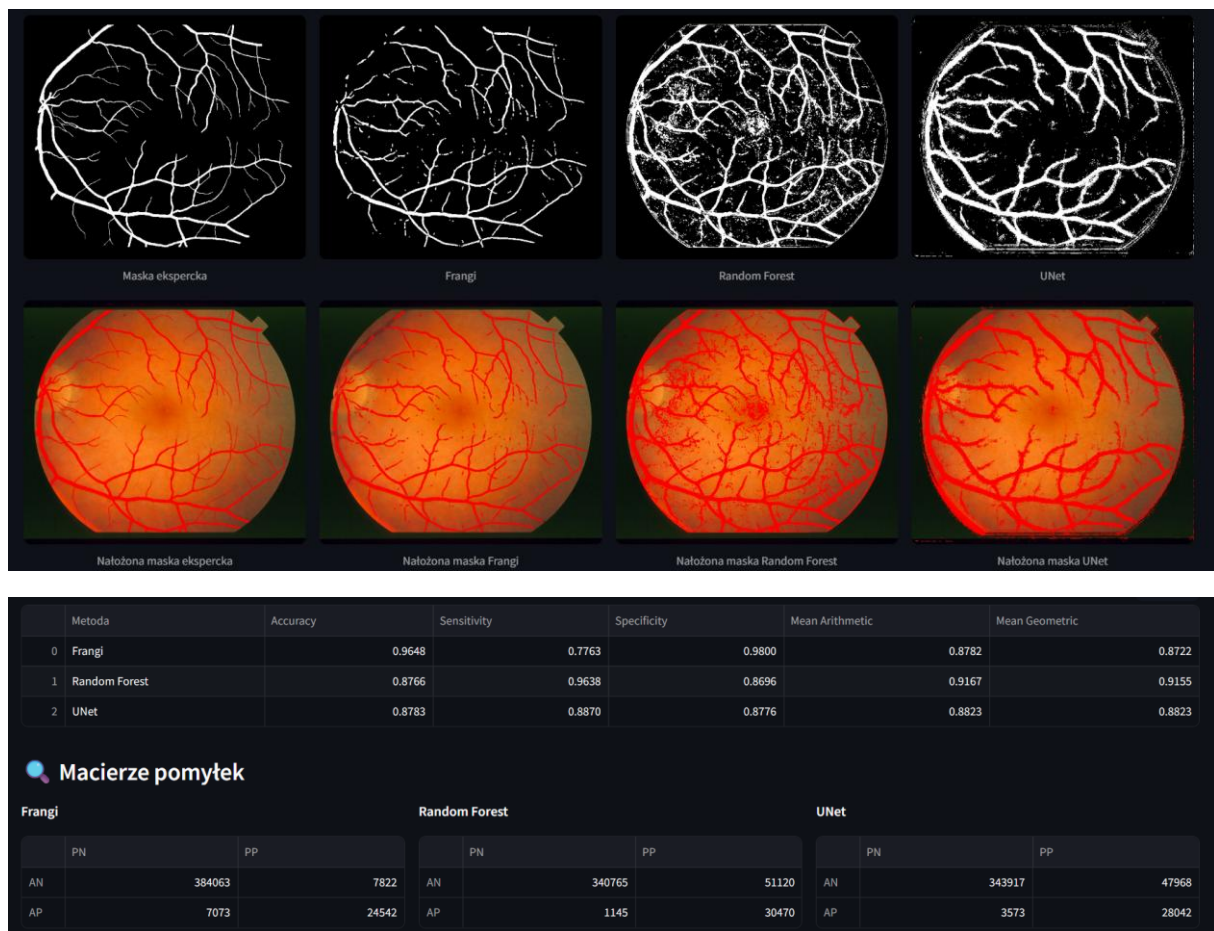


## 5. Analiza wyników działania programu dla wybranych obrazów

- Obraz im0077.ppm

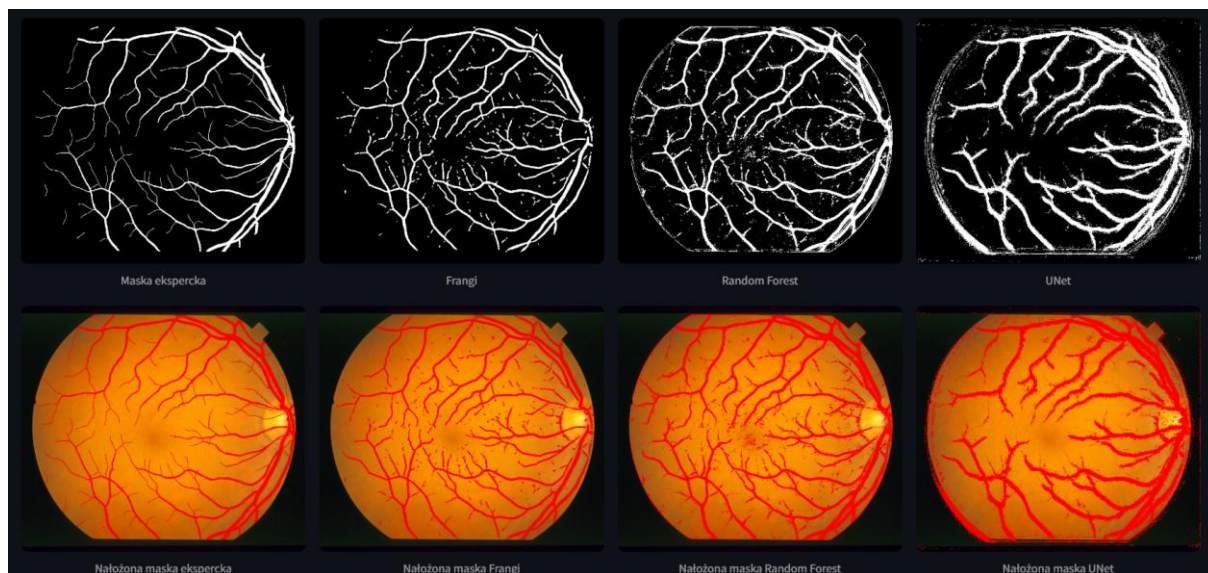


- Obraz im0081.ppm





- Obraz im0082.ppm

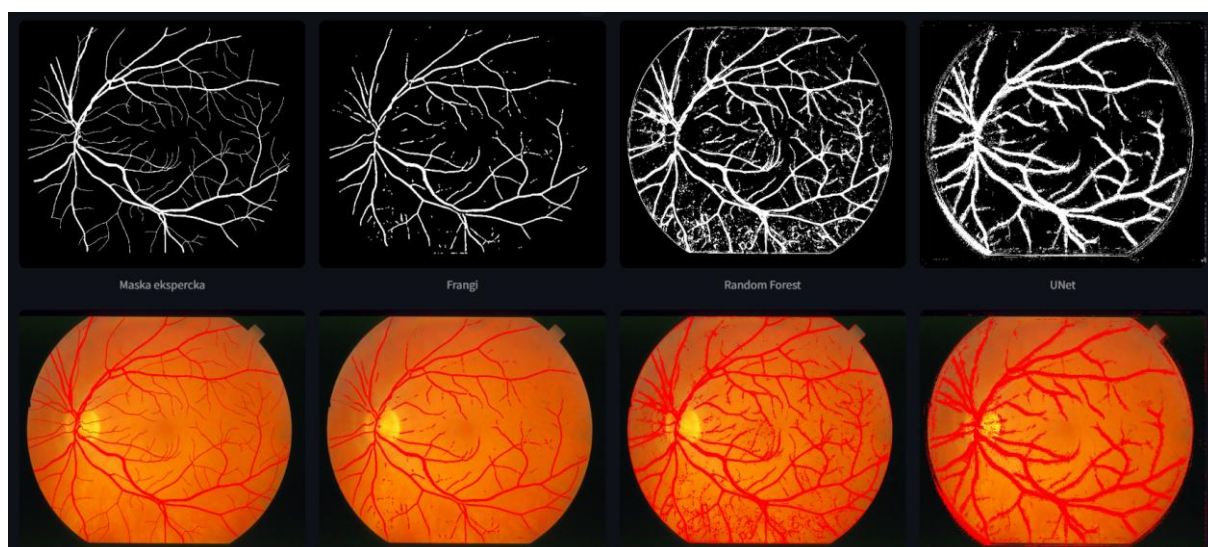


	Metoda	Accuracy	Sensitivity	Specificity	Mean Arithmetic	Mean Geometric
0	Frangl	0.9566	0.8555	0.9652	0.9103	0.9087
1	Random Forest	0.9235	0.9310	0.9228	0.9269	0.9269
2	UNet	0.8758	0.8699	0.8763	0.8731	0.8731

#### Macierze pomyłek

Frangi			Random Forest			UNet		
	PN	PP		PN	PP		PN	PP
AN	376610	13580	AN	360080	30110	AN	341933	48257
AP	4814	28496	AP	2299	31011	AP	4334	28976

- Obraz im0162.ppm



	Metoda	Accuracy	Sensitivity	Specificity	Mean Arithmetic	Mean Geometric
0	Frangi	0.9654	0.7386	0.9828	0.8607	0.8520
1	Random Forest	0.8911	0.9234	0.8886	0.9060	0.9058
2	UNet	0.8589	0.8471	0.8598	0.8534	0.8534

#### Macierze pomyłek

Frangi			Random Forest			UNet		
	PN	PP		PN	PP		PN	PP
AN	386562	6758	AN	349520	43800	AN	338176	55144
AP	7888	22292	AP	2313	27867	AP	4616	25564

